

# ИСПОЛЬЗОВАНИЕ ТРИГОНОМЕТРИЧЕСКИХ РЯДОВ ДЛЯ ПРИБЛИЖЕННОГО ПРЕДОСТАВЛЕНИЯ ТЕЧЕНИЙ ВЯЗКОГО ТЕПЛОПРОВОДНОГО ГАЗА

Баутин С.П., Габдулхаев В.Ф., Замыслов В.Е., Зорина О.Д., Козлов П.А., Скачков П.П. Полная система уравнений Навье-Стокса:

$$\begin{cases} \frac{\partial \delta}{\partial t} + \mathbf{V} \cdot \nabla \delta - \delta \operatorname{div} \mathbf{V} = 0, \\ \frac{\partial \mathbf{V}}{\partial t} + (\mathbf{V} \cdot \nabla) \mathbf{V} + \frac{1}{\gamma} \delta \nabla p = \mu_0 \delta \left[ \frac{1}{4} \nabla (\operatorname{div} \mathbf{V}) + \frac{3}{4} \Delta \mathbf{V} \right], \\ \frac{\partial p}{\partial t} + \mathbf{V} \cdot \nabla p + \gamma p \operatorname{div} \mathbf{V} = \varkappa_0 \Delta (\delta p) + \Phi (\mu_0, \mathbf{V}). \end{cases}$$

$$\Phi(\mu_0, \mathbf{V}) = \mu_0 \gamma (\gamma - 1) \left\{ \frac{1}{2} \left[ \left( \frac{\partial v_1}{\partial x_1} - \frac{\partial v_2}{\partial x_2} \right)^2 + \left( \frac{\partial v_1}{\partial x_1} - \frac{\partial v_3}{\partial x_3} \right)^2 + \left( \frac{\partial v_2}{\partial x_2} - \frac{\partial v_3}{\partial x_3} \right)^2 \right] + \left[ \frac{3}{4} \left[ \left( \frac{\partial v_1}{\partial x_2} + \frac{\partial v_2}{\partial x_1} \right)^2 + \left( \frac{\partial v_1}{\partial x_3} + \frac{\partial v_3}{\partial x_1} \right)^2 + \left( \frac{\partial v_2}{\partial x_3} + \frac{\partial v_3}{\partial x_2} \right)^2 \right] \right\},$$

 $\mu_0 = \text{const}, \, \varkappa_0 = \text{const}, \, \delta = 1/\rho - \text{удельный объем}, \, p = \rho T, \, e = T.$ 

Баутин С.П. Характеристическая задача Коши и ее приложения в газовой динамике. Новосибирск, Наука. 2009, 368 с.

Титов С.С. Пространственно-периодические решения полной системы Навье—Стокса // Доклады АН. 1999.

#### Одномерная начально-краевая задача

$$\begin{cases} \underline{\delta_{t}} = \delta u_{x} - u \delta_{x}, \\ \underline{u_{t}} = -u u_{x} - \frac{1}{\gamma} \delta p_{x} + \mu_{0} \delta u_{xx}, \\ \underline{p_{t}} = -u p_{x} - \gamma p u_{x} + \varkappa_{0} (\delta p)_{xx} + \mu_{0} \gamma (\gamma - 1) u_{x}^{2}, \\ \delta|_{t=0} = \delta^{o}(x), \\ u|_{t=0} = u^{o}(x), \\ p|_{t=0} = p^{o}(x), \\ u|_{x=0, x=\pi} = 0, \quad T_{x}|_{x=0, x=\pi} = 0, \quad t \geq 0, \quad 0 \leq x \leq \pi. \end{cases}$$

$$(1)$$

Поставленная начально-краевая задача имеет единственное решение в  $L_2$ , а при дополнительных предположениях и в  $C^{2+\alpha,1+\alpha/2}$  (по x,t).

Антонцев С.Н., Кажихов А.В., Монахов В.Н. Краевые задачи механики неоднородных жидкостей. Новосибирск: Наука, 1983. Кажихов А.В. Избранные труды. Математическая гидродинамика. Новосибирск: Изд-во Ин-та гидродинамики. 2008.

#### Вид решения и его построение

$$\delta(t, x) = 1 + \sum_{k=1}^{\infty} \delta_k(t) \cos kx, \quad u(t, x) = \sum_{k=1}^{\infty} u_k(t) \sin kx,$$

$$p(t, x) = 1 + p_0(t) + \sum_{k=1}^{\infty} p_k(t) \cos kx,$$
(2)

Начальные данные:

$$\delta(t,x)|_{t=0} = 1 + \sum_{k=1}^{\infty} \delta_k(0) \cos kx, \ u(t,x)|_{t=0} = \sum_{k=1}^{\infty} u_k(0) \sin kx,$$
$$p(t,x)|_{t=0} = 1 + p_0(0) + \sum_{k=1}^{\infty} p_k(0) \cos kx,$$
 (3)

Для представлений (2) при x = 0 и  $x = \pi$  выполняются условия прилипания и теплоизоляции.

Сходимостьпредставлений (2) доказана: Титов С.С., Курмаева К.В.

Представления (2) подставляются в систему (1) и каж дое уравнение проецируется на свою систему базисных гармоник. Получается бесконечная система обыкновенных дифференциальных уравнений

$$\underline{\delta'_{\ell}(t)} = \ell u_{\ell}(t) + \frac{2}{\pi} \sum_{k,m=1}^{\infty} \underline{(m a_{km\ell} + k b_{km\ell})} \, \delta_k(t) u_m(t); \tag{4}$$

$$\underline{u'_{\ell}(t)} = -\frac{2}{\pi} \sum_{k,m=1}^{\infty} m \underline{b_{k\ell m}} u_k(t) u_m(t) + \frac{1}{\gamma} \ell p_{\ell}(t) +$$

$$+\frac{2}{\gamma\pi}\sum_{k,m=1}^{\infty}m\underline{b_{m\ell k}}\delta_k(t)p_m(t)-\mu_0\ell^2u_\ell(t)-\tag{5}$$

$$-\mu_0 \frac{2}{\pi} \sum_{k,m=1}^{\infty} m^2 \underline{b_{m\ell k}} \delta_k(t) u_m(t);$$

$$\underline{p'_{\ell}(t)} = \frac{2}{\pi} \sum_{k,m=1}^{\infty} \underline{(mb_{km\ell} - \gamma k a_{km\ell})} u_k(t) p_m(t) - \gamma [1 + p_0(t)] \ell u_{\ell}(t) - \\
- \varkappa_0 \ell^2 \{ [1 + p_0(t)] \delta_{\ell}(t) + p_{\ell}(t) \} - \\
- \varkappa_0 \frac{2}{\pi} \sum_{k,m=1}^{\infty} \underline{[(m^2 + k^2) a_{km\ell} - 2km b_{km\ell}]} \delta_k(t) p_m(t) + \\
+ \mu_0 \gamma (\gamma - 1) \frac{2}{\pi} \sum_{k,m=1}^{\infty} km \underline{a_{km\ell}} u_k(t) u_m(t); \\
\underline{p'_0(t)} = \frac{1}{2} (1 - \gamma) \sum_{k=1}^{\infty} ku_k(t) p_k(t) + \frac{1}{2} \mu_0 \gamma (\gamma - 1) \sum_{k=1}^{\infty} k^2 u_k^2(t); \qquad (7)$$

$$\underline{a_{k,m,\ell}} = \int\limits_0^\pi\!\!\cos(kx)\cos(mx)\cos(\ell x)dx; \\ \underline{b_{k,m,\ell}} = \int\limits_0^\pi\!\!\sin(kx)\sin(mx)\cos(\ell x)dx.$$

#### Теоремы о кратных частотах

Первая теорема о кратных частотах. Если начальные данные содержат гармонику с частотой  $\ell_1$ , то в решении присутствуют гармоники по пространственной переменной только с частотами, кратными  $\ell_1$ :  $\ell_1$ ,  $2\ell_1$ ,  $3\ell_1$ , ...

Вторая теорема о кратных частотах. Если начальные данные содержат гармоники с частотами  $\ell_1, \, \ell_2, \, ..., \, \ell_n$ , то в решении присутствуют гармоники по пространственной переменной только с частотами, кратными d:d, 2d, 3d, ...  $d = HOД(\ell_1, \ell_2, ..., \ell_n)$ .

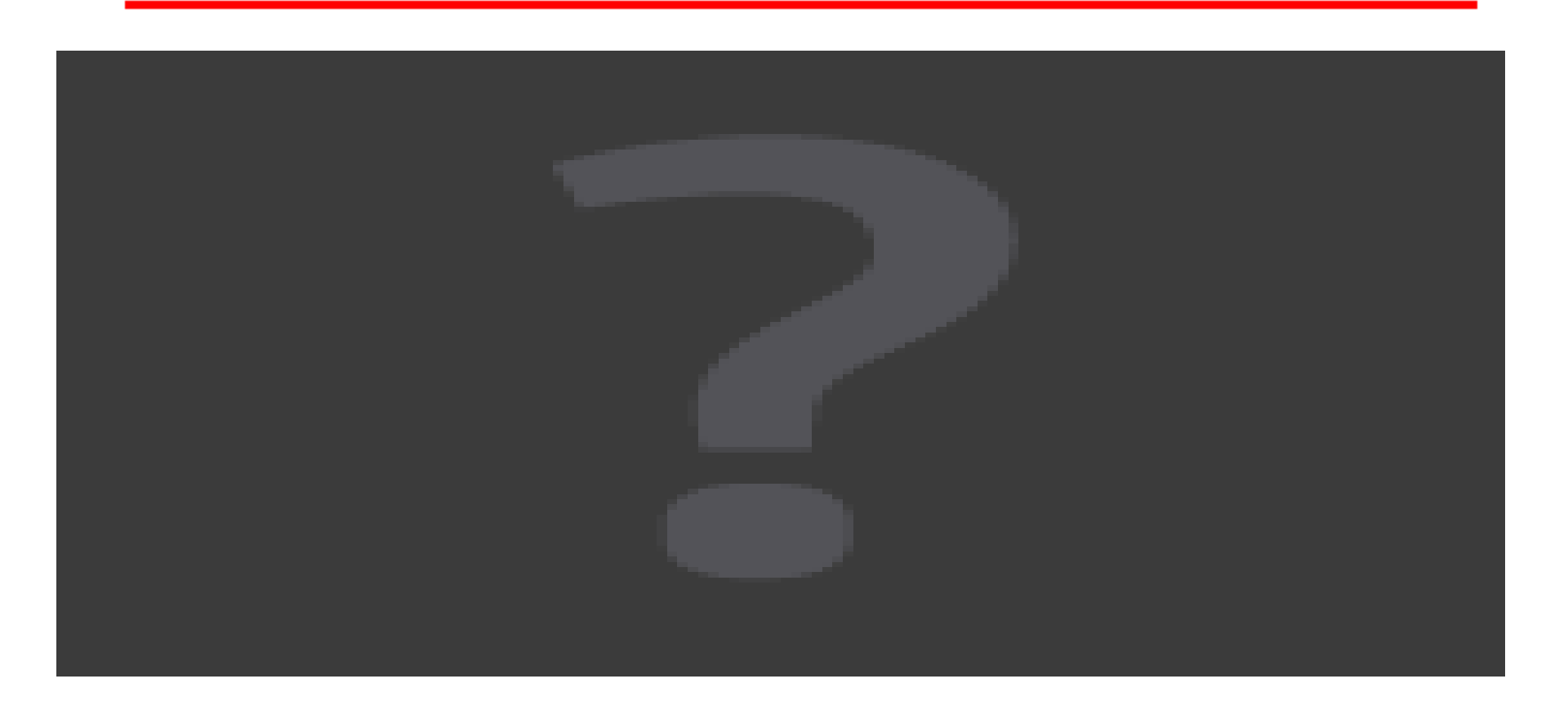
Теоремы доказаны для бесконечной системы (4)—(7).

[8] Замыслов В.Е. Стоячие волны как решения полной системы уравнений Навье—Стокса в одномерном случае // Вычислительные технологии. 2013. Т. 18, №2. С. 33-45 Теоремы передоказаны Титовым С.С. и Курмаевой К.В.

Следствия теорем о кратных частотах:

$$\ell_1 = d = 5$$

Появление частот  $\ell_2 = 10$ ,  $\ell_2 = 15$ ,  $\ell_2 = 20$ , ...



#### Теорема о кратных частотах в трехмерном случае

#### Вид решения

$$\delta(t, x_1, x_2, x_3) = 1 + \delta_0(t) + \delta_1(t, x_1) + \delta_2(t, x_2) + \delta_3(t, x_3),$$

$$u(t, x_1, x_2, x_3) = u_1(t, x_1) + u_2(t, x_2) + u_3(t, x_3),$$

$$u(t, x_1, x_2, x_3) = v_1(t, x_1) + v_2(t, x_2) + v_3(t, x_3),$$

$$u(t, x_1, x_2, x_3) = w_1(t, x_1) + w_2(t, x_2) + w_3(t, x_3),$$

$$p(t, x_1, x_2, x_3) = 1 + p_0(t) + p_1(t, x_1) + p_2(t, x_2) + p_3(t, x_3)$$

**Погодин Ю.А., Сучков В.А., Яненко Н.Н.** О бегущих волнах уравнений газовой динамики // ДАН СССР. Т. СХІХ, вып 4.1957.

**Сидоров А.Ф., Шапеев В.П., Яненко Н.Н.** Метод дифференциальных связей и его приложения в газовой динамике. Новосибирск: Наука, 1984. Решение строится в следующем виде:

$$\begin{cases} \delta(t,x_1,x_2,x_3) = 1 + \delta_0(t) + \sum_{j=1}^3 \delta_j(t,x_j), \\ u(t,x_1,x_2,x_3) = \sum_{j=1}^3 u_j(t,x_j), \\ v(t,x_1,x_2,x_3) = \sum_{j=1}^3 v_j(t,x_j), \\ w(t,x_1,x_2,x_3) = \sum_{j=1}^3 w_j(t,x_j), \\ p(t,x_1,x_2,x_3) = 1 + p_0(t) + \sum_{j=1}^3 p_j(t,x_j) \\ f_j(t,x_j) = \sum_{k=1}^\infty \left[ f_{\underline{j},\underline{k},1}(t) \cos(\underline{k}x_{\underline{j}}) + f_{\underline{j},\underline{k},2}(t) \sin(\underline{k}x_{\underline{j}}) \right]; \\ f: \delta, u, v, w, p; \text{первый индекс } \underline{j} = 1, 2, 3 - \text{номер} \\ \text{пространственной переменной;} \\ \text{второй индекс} - частота гармоники;} \end{cases}$$

Результат проецирования первого уравнения системы (1)

$$\delta_0'(t) = \frac{1}{2} \sum_{k=1}^{\infty} k \left\{ -u_{1k1}(t)\delta_{1k2}(t) + u_{1k2}(t)\delta_{1k1}(t) - u_{2k1}(t)\delta_{2k2}(t) + v_{2k2}(t)\delta_{2k1}(t) - w_{3k1}(t)\delta_{3k2}(t) + w_{3k2}(t)\delta_{3k1}(t) + u_{3k2}(t)\delta_{3k1}(t) + u_{3k2}$$

$$+\delta_{1k1}(t)u_{1k2}(t) - \delta_{1k2}(t)u_{1k1}(t)\delta_{1k1}(t) + \delta_{2k1}(t)v_{2k2}(t) - \delta_{2k2}(t)v_{2k1}(t) +$$

$$+\delta_{3k1}(t)w_{3k2}(t) - \delta_{3k2}(t)w_{3k1}(t)$$
;

$$\delta'_{1\ell 1}(t) = \left[1 + \delta_0(t)\right] \ell u_{1\ell 2}(t) + \frac{1}{2} \sum_{k=1}^{\infty} \sum_{m=1}^{\infty} m \left[ -a_{km\ell} u_{1k1}(t) \delta_{1m2}(t) + b_{km\ell} u_{1k2}(t) \delta_{1m1}(t) + a_{km\ell} \delta_{1k1}(t) u_{1m2}(t) - b_{km\ell} \delta_{1k2}(t) u_{1m1}(t) \right];$$

$$\delta'_{1\ell 2}(t) = -[1 + \delta_0(t)]\ell u_{1\ell 1}(t) + \frac{1}{2} \sum_{k=1}^{\infty} \sum_{m=1}^{\infty} m \left[ b_{m\ell k} u_{1k1}(t) \delta_{1m1}(t) - b_{k\ell m} u_{1k2}(t) \delta_{1m2}(t) - b_{m\ell k} \delta_{1k1}(t) u_{1m1}(t) + b_{k\ell m} \delta_{1k2}(t) u_{1m2}(t) \right];$$

$$\delta'_{2\ell 1}(t) = [1 + \delta_0(t)]\ell v_{2\ell 2}(t) + \frac{1}{2} \sum_{k=1}^{\infty} \sum_{m=1}^{\infty} m \Big[ -a_{km\ell} v_{2k1}(t) \delta_{2m2}(t) + b_{km\ell} v_{2k2}(t) \delta_{2m1}(t) + a_{km\ell} \delta_{2k1}(t) v_{2m2}(t) - b_{km\ell} \delta_{2k2}(t) v_{2m1}(t) \Big];$$

$$\delta'_{2\ell 2}(t) = -[1 + \delta_0(t)]\ell v_{2\ell 1}(t) + \frac{1}{2} \sum_{k=1}^{\infty} \sum_{m=1}^{\infty} m \Big[ b_{m\ell k} v_{2k1}(t) \delta_{2m1}(t) - b_{k\ell m} v_{2k1}(t) \delta_{2m1}(t) - b_{m\ell k} \delta_{2k1}(t) v_{2m1}(t) + b_{k\ell m} \delta_{2k2}(t) v_{2m2}(t) \Big];$$

$$\delta'_{3\ell 1}(t) = \left[1 + \delta_0(t)\right] \ell w_{3\ell 2}(t) + \frac{1}{2} \sum_{k=1}^{\infty} \sum_{m=1}^{\infty} m \left[ -a_{km\ell} w_{3k1}(t) \delta_{3m2}(t) + b_{km\ell} w_{3k2}(t) \delta_{3m1}(t) + a_{km\ell} \delta_{3k1}(t) w_{3m2}(t) - b_{km\ell} \delta_{3k2}(t) w_{3m1}(t) \right];$$

$$\delta'_{3\ell 2}(t) = -\left[1 + \delta_0(t)\right] \ell w_{3\ell 1}(t) + \frac{1}{2} \sum_{k=1}^{\infty} \sum_{m=1}^{\infty} m \left[ b_{m\ell k} w_{3k1}(t) \delta_{3m1}(t) - b_{k\ell m} w_{3k2}(t) \delta_{3m2}(t) - b_{m\ell k} \delta_{3k1}(t) w_{3m1}(t) + b_{k\ell m} \delta_{3k2}(t) w_{3m2}(t) \right].$$

**Теорема о кратных частотах.** Пусть заданы три набора целых положительных чисел и их наибольшие делители:

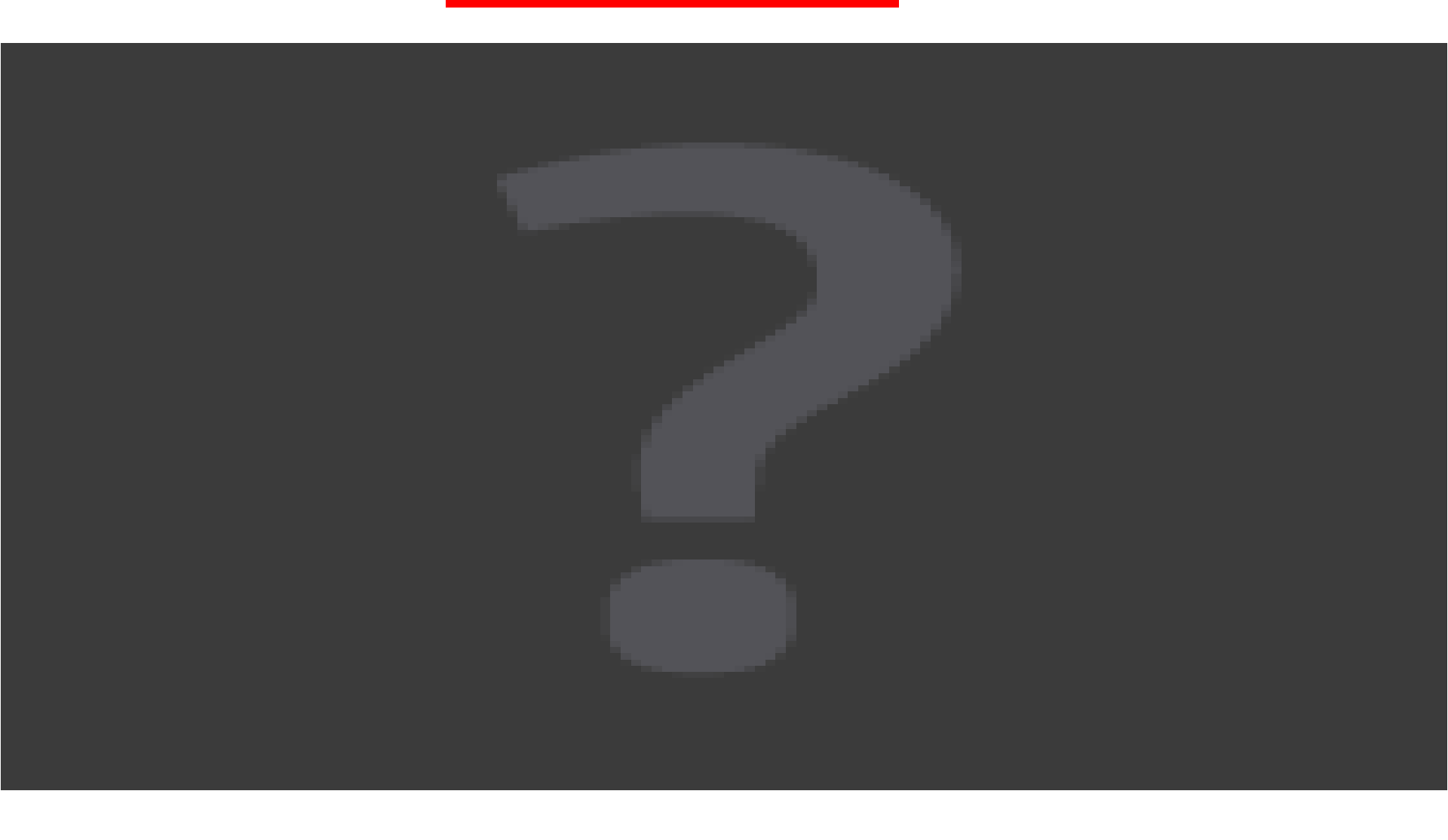
$$d_1 = HO\mathcal{A}(\ell_0, ..., \ell_L); d_2 = HO\mathcal{A}(m_0, ..., m_M); d_3 = HO\mathcal{A}(n_0, ..., n_N).$$

Пусть при t=0 начальные данные (3) содержат конечное число гармоник. Причем гармоники, зависящие от  $x_1$ , имеют частоты  $\ell_0$ , ...,  $\ell_L$ ; зависящие от  $x_2$  — частоты  $m_0$ , ...,  $m_M$ ; зависящие от  $m_0$ , ...,  $m_M$ . Тогда в решении бесконечной системы обыкновенных дифференциальных уравнений все коэффициенты  $f_{i\ell j}(t)$ , у которых второй индекс  $\ell$  не кратен числу  $d_i$ , будут тождественными нулями.

Теорема говорит о том, что в решении, представленном в виде (2) и содержащим в начальный момент времени только конечное число гармоник, при t>0 могут присутствовать гармоники от  $x_i$  только с частотами, кратными  $d_i, i=1,2,3$ .

Разделение частот по направлениям: разделив в начальных условиях пространственные переменные, получили, что в решении частоты гармоник оказались также разделенными по пространственным переменным.

## Смысл теоремы



Замечание 1. Теорема справедлива и для системы уравнений газовой динамики, которая получается из системы (1), если в ней положить  $\mu_0 = \varkappa_0 = 0$ . Замечание 2. Из теоремы следует, что решения вида (2) не обладают свойством «удвоения частот», которое иногда предполагают в течениях вязкой сплошной среды.

Ландау Л.Д., Лифшиц Е.М. Теоретическая физика. Том VI. Гидродинамика. М.: Наука, 1988. 736 с.

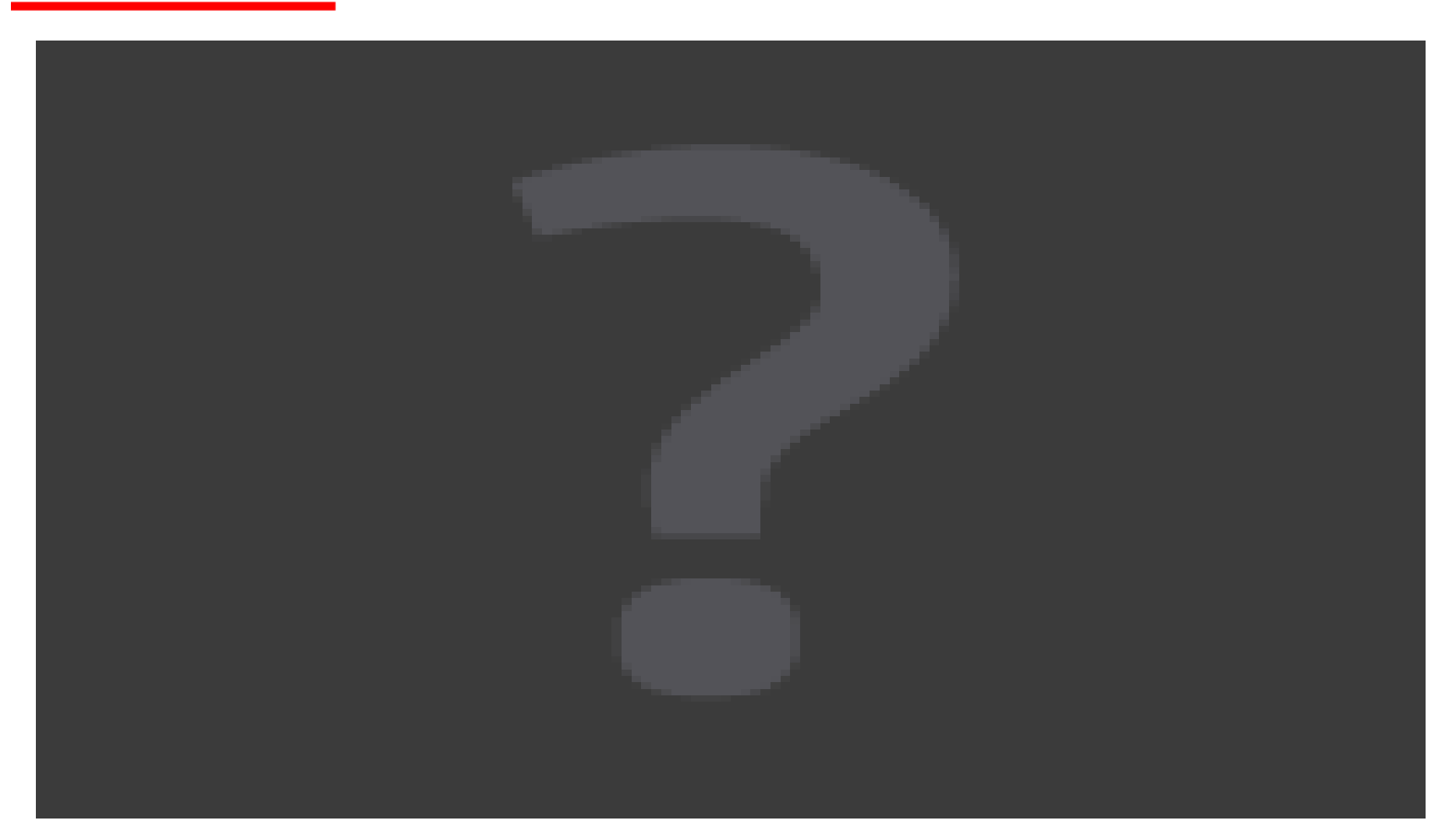
Замечание 3. Как природное явление давно известен факт, что при возбуждении гармоник с одними частотами, с течением времени фиксируются и новые гармоники, значения частот которых полностью согласуются с данной теоремой и аналогичными теоремами в одномерном случае.

Алдошина И., Притте Р. Музыкальная акустика. С.-П.: «Композитор», 2006.

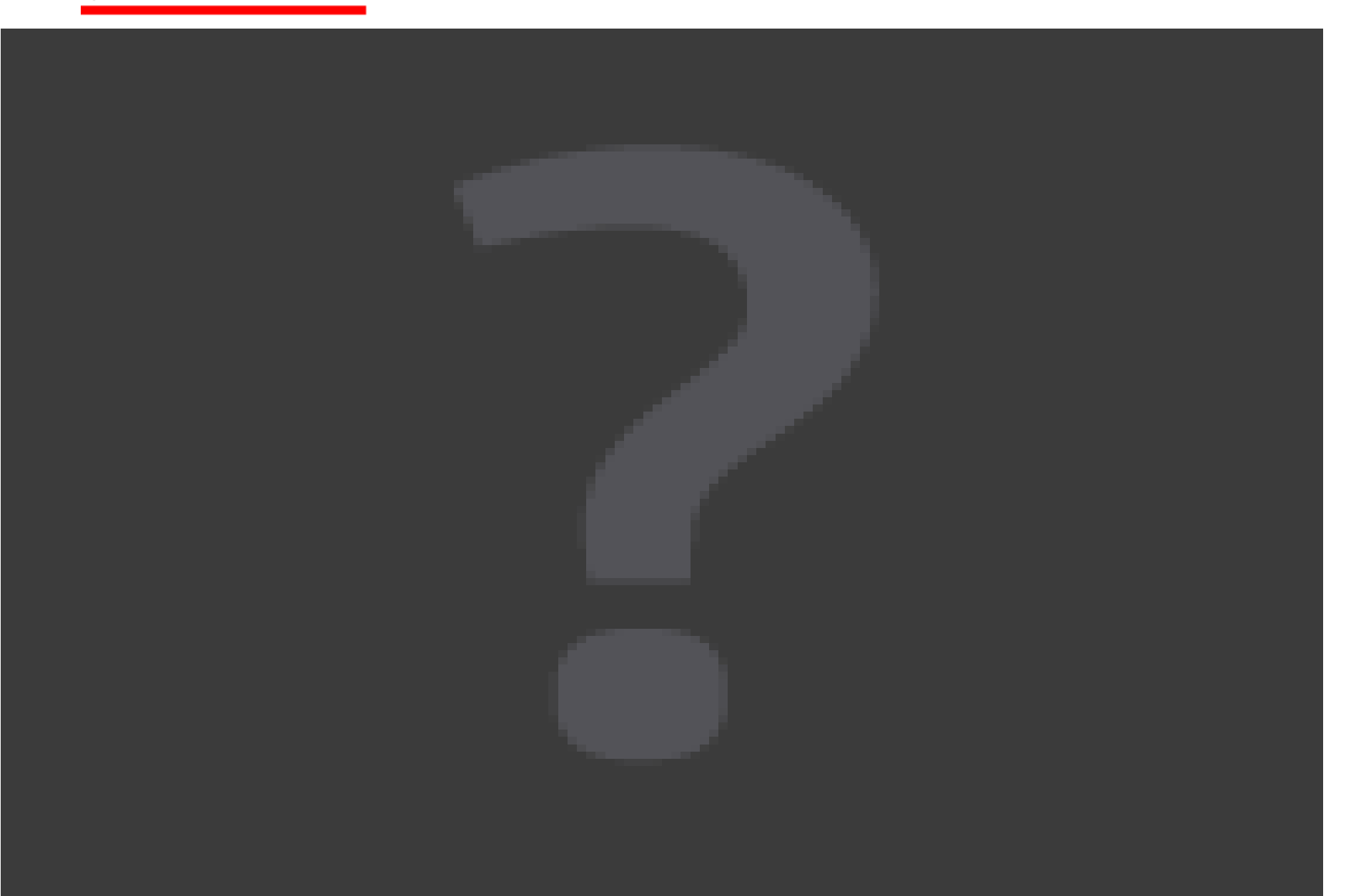
Замечание 4. Авторам приведенной теоремы неизвестны работы, в которых хотя бы для формальных решений конкретных нелинейных уравнений с частными производными был бы доказан факт, соответствующий теоремам о кратных частотах.

# Сопоставление случая $\mu_0 \neq 0, \varkappa_0 \neq 0$ со случаем $\mu_0 = \varkappa_0 = 0$

 $\mu_0 \neq 0, \varkappa_0 \neq 0$ 



 $\mu_0 = \varkappa_0 = 0$ 



### Заключение

- 1. С помощью бесконечных тригонометрических рядов приближенно построены нестационарные решения полной системы уравнений Навье—Стокса.
- 2. Доказаны теоремы о кратных частотах и тем самым установлен факт перераспределения начальных возмущений с одних гармоник на другие и дано математическое обоснование правил образования обертонов.
- 3. Установлена алгебраическая структура множества кратных частот.

- 4. Соответствующими вычислительными приемами подтверждено, что построенные в случае относительно небольших начальных данных приближенные решения с достаточной точностью передают одномерные течения сжимаемого вязкого теплопроводного газа.
- Приведены примеры достаточно нетривиальных решений.
- 6. Предложенный подход позволяет получать решения на достаточно больших промежутках времени, в том числе, когда течение практически стабилизируется — в данном случае к однородному покою. Расчеты показали, что время стабилизации потока — порядка 1/μ<sub>0</sub>.

# Спасибо за внимание!

E-mail: SBautin@usurt.ru